



# 退化过程的统计建模：理论与实践

汤银才

华东师范大学统计学院

徐安察，庄亮亮

2025-11-06

## 1 引言

## 2 基本退化模型

- 维纳退化过程
- 伽马退化过程
- 逆高斯退化过程
- 指数分散退化过程

## 3 高级退化模型

- 带测量误差的退化模型
- 带变点的退化模型
- 加速退化模型
- 多元 (竞争) 退化模型
- 动态退化模型

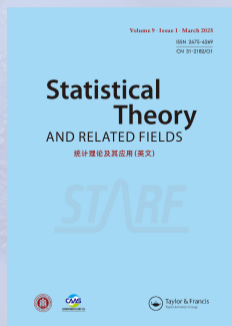
## 4 总结

## 《应用概率统计》

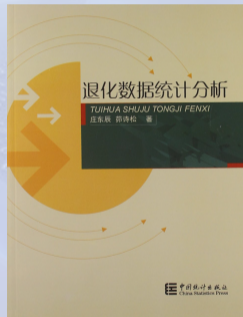
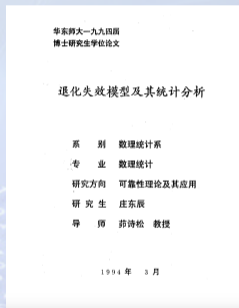
- 1985 年创刊
- 被 CSCD, 北大核心等收录
- 数学科技期刊分级目录 (T3)
- 现任主编: 陈松蹊院士

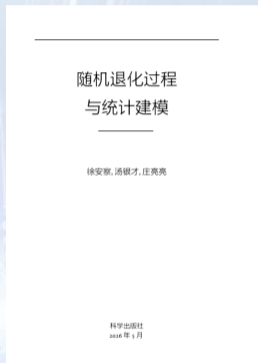
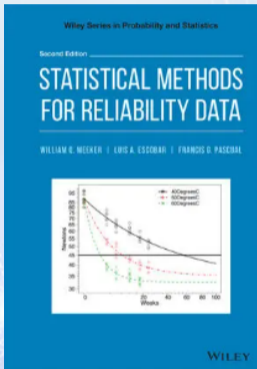
## 《统计理论及其应用 (英)》

- 国际/国内创刊: 2017 年 / 2021
- 19 年入选《中国科技期刊卓越行动计划》高起点新刊项目
- 收录: Scopus(2019.5), CSCD(2022.4), DOAJ(2022.9), ESCI(2022.11), JCR Q2(2025.6), 数学会 T3 系列, 中科院分区 (Q4)
- 现任主编: 邵军, 汤银才



- ✎ **加速寿命试验**, Nelson (1990); 茆诗松, 王玲玲 (1997).
- ✎ **无失效数据**的可靠性分析: Martz & Waller (1979); 茆诗松, 罗朝斌 (1989); 张占忠, 杨振海 (1989); 韩明 (1999, 专著).
- ✎ **退化路径模型**: Chow & Shao (1991); Lu & Meeker (1993); Meeker & Escobar (1993); 庄东辰, 茆诗松 (1994, 2013); Meeker & Escobar (1998, 专著).





## 我的几个学生：

- 👉 徐安察, 浙江工商
- 👉 管强, 三明学院
- 👉 王平平, 南经财经
- 👉 周世荣, 温州大学
- 👉 王昱栋, NUS, Upenn
- 👉 庄亮亮, 南京理工

- 1 引言
- 2 基本退化模型
- 3 高级退化模型
- 4 总结

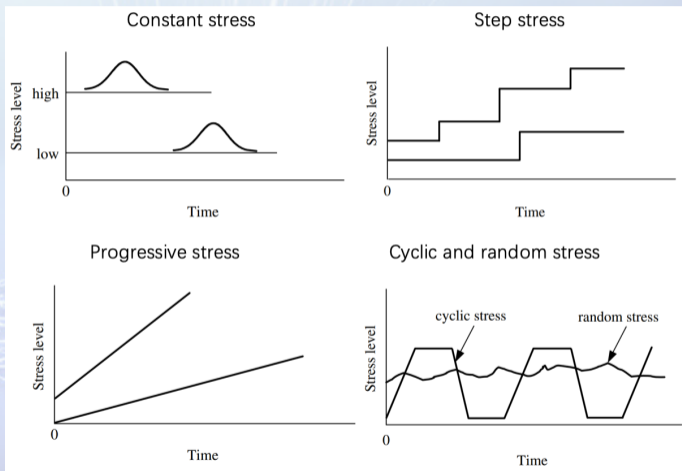


图 1.1: 试验的类型.

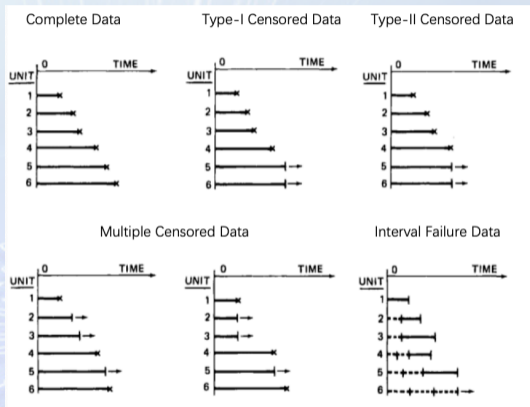
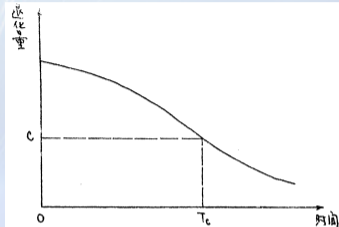
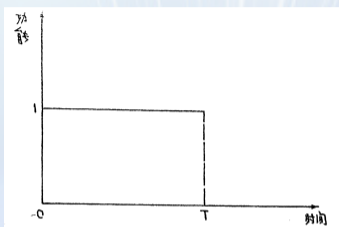


图 1.2: 截尾类型: 事件图.

参见: 茆诗松, 汤银才, 《可靠性统计》, 高等教育出版社, 2008





- 突发性失效**: 从 0 到  $T$ , 产品功能处于 1 状态, 而在  $T$  时刻突发性地转到 0 状态 (功能完全丧失), 即产品失效。 $T$  即产品的寿命。
- 退化型失效**: 在  $[0, T_c]$ , 产品的退化量高于**失效标准**  $\omega$ , 即产品处于正常工作状态, 而在  $(T_c, \infty)$ , 产品的退化量低于 (高于) 失效标准  $\omega$ , 判定为产品失效 (软失效)。 $T_c$  为产品的寿命。
- 退化型失效的特点**: 产品在失效之前功能就在不断下降, 而失效之后功能并不完全丧失, 且失效与否是相对于失效标准而言的。

## 为何要做 (加速) 退化试验?

- ➡ 随着高科技的发展, 许多产品设计要求具有很高的可靠度, 即使采用**加速寿命试验**, 也难以收集这些产品的失效数据.
- ➡ 退化数据为获取高可靠产品的可靠性信息提供了有用的资源。例如:
  - LED 阵列的光输出衰减
  - 光伏阵列的功率输出下降
  - 管道的腐蚀
  - 风力涡轮机中磨损轴承的振动
  - 汽车漆面的光泽和颜色损失
  - 饮料的菌落总数/大肠菌群数的增加
  - 过度劳累会使人处于亚健康状态
- ➡ **加速退化试验 (ADT)**有助于更快地揭示高可靠产品的寿命相关信息。
  - 恒加退化试验 (CSADT)
  - 步加退化试验 (SSADT)

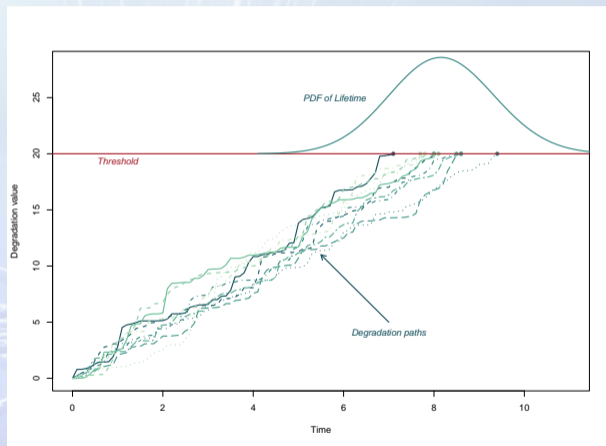


图 1.3: 完全退化试验与寿命分布

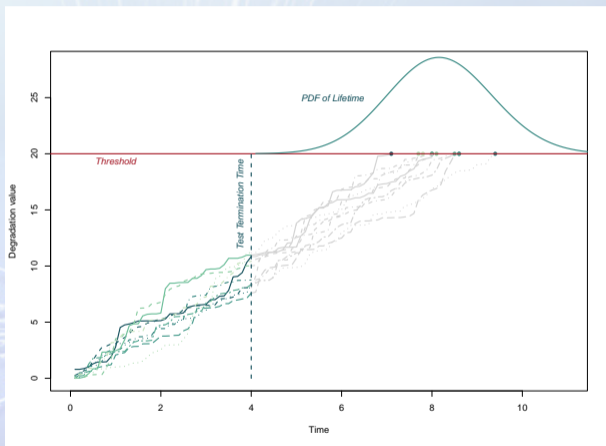


图 1.4: 定时截尾退化试验示意图

👉  $Y(t)$ : 性能退化特征量 (PC) 的退化过程 (DP)

👉  $\omega$ : 失效阈值,  $T$ : 寿命:

$$T = \begin{cases} \inf\{t : Y(t) \geq \omega\}, & \text{递增 DP} \\ \sup\{t : Y(t) \leq \omega\}, & \text{递减 DP} \end{cases}$$

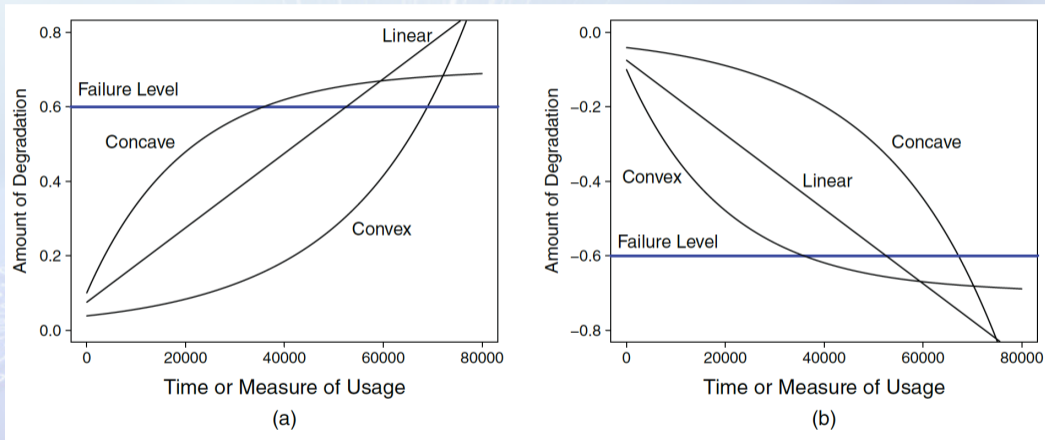


图 1.5: 退化曲线的三种典型形态

$$F_Y(\omega | t) = P(Y(t) < \omega | t)$$

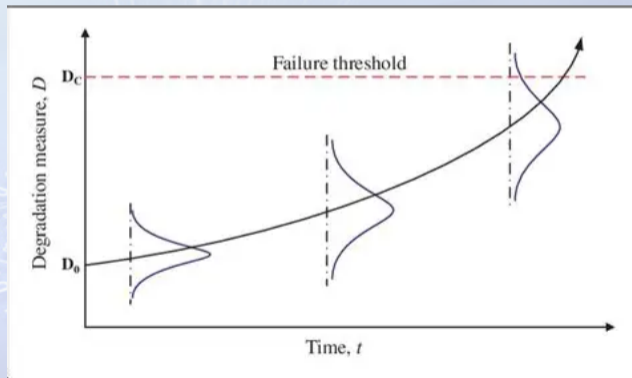


图 1.6: 递增退化过程与退化分布

$$F_T(t | \omega) = P(T < t | \omega)$$

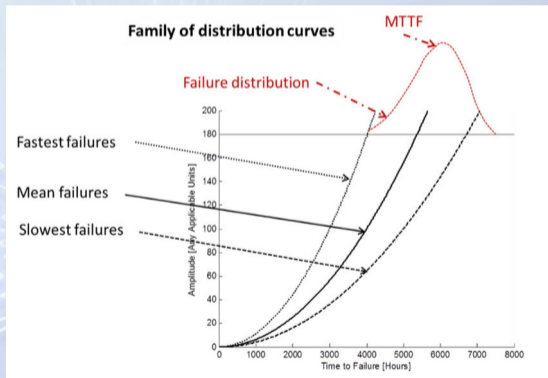


图 1.7: 失效分布



$$F_T(t | \omega) = \begin{cases} R_Y(\omega | t), & \text{递增 DP} \\ F_Y(\omega | t), & \text{递减 DP} \end{cases}$$

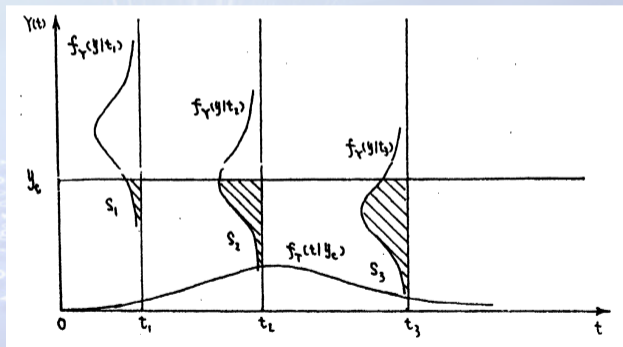


图 1.8: 退化分布与寿命分布之间的关系

## 示例 1: 递增线性退化数据

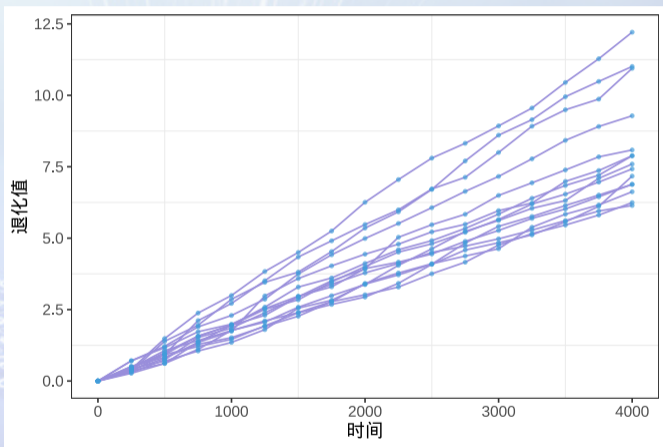


图 1.9: 激光工作电流的退化路径

## 示例 2: 递增非线性退化数据

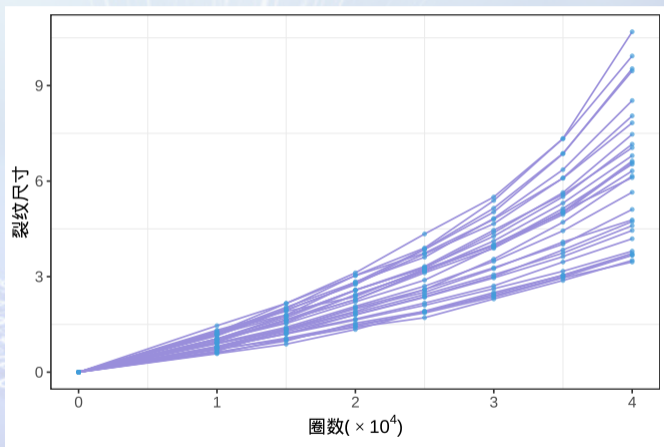


图 1.10: 铝合金裂纹退化数据

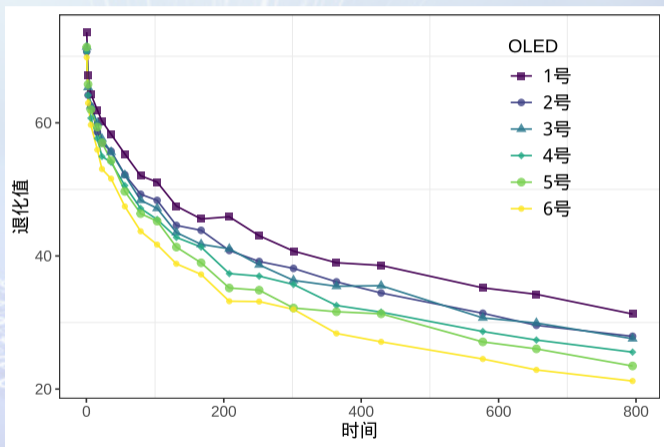


图 1.11: 6 个 OLED 的退化数据

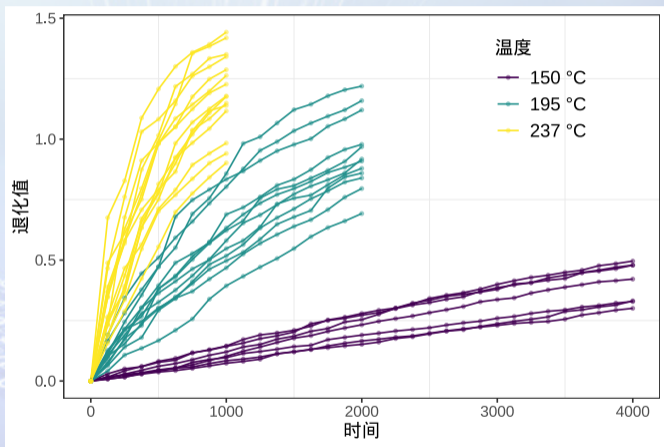


图 1.12: 3 组锂电池的容量退化数据

## 示例 5: 有变点的退化数据

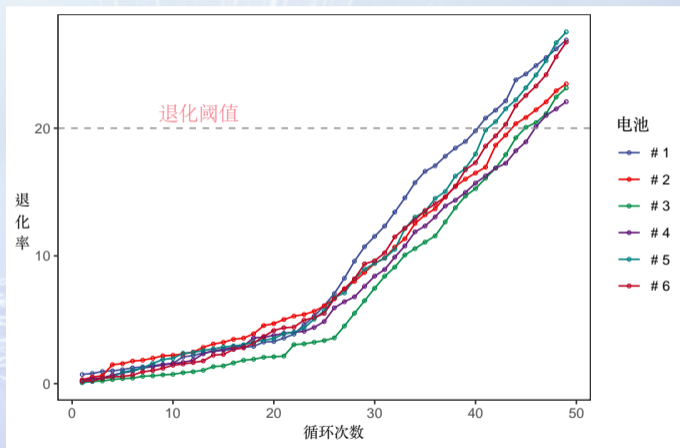


图 1.13: 6 个锂电池的容量退化数据

不能单独 (独立) 分析?

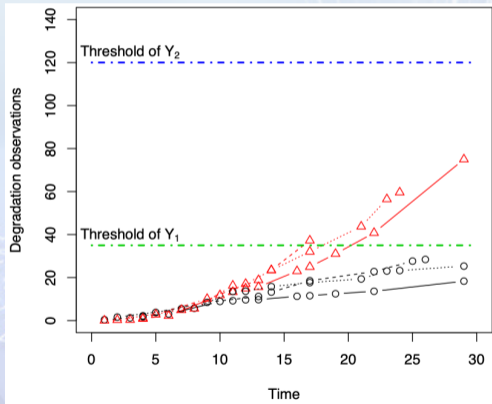


图 1.14: 重型机床的二个 PC 退化数据.

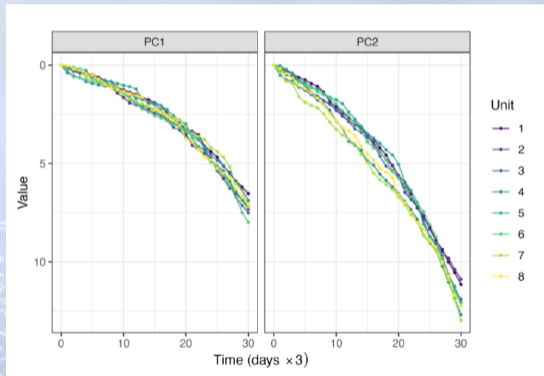


图 1.15: 永磁制动器二个 PC 退化数据.

- 👉 退化形态/模型的确定。在此仅考虑递增的退化模型
- 👉 异质性参数模型
- 👉 加速模型
- 👉 统计推断:
  - 1 参数估计
  - 2 寿命  $T$  的分布
  - 3 MTBF
  - 4 RUL: 剩余寿命分布
  - 5 维修/替换策略
- 👉 数据驱动的 ML/DL 建模: 从环境变量中提取与寿命相关的重要特征
- 👉 计算加速: INLA, VB, ABC



- 1 引言
- 2 基本退化模型**
- 3 高级退化模型
- 4 总结

## 1. 一般路径模型 (general path model) (Lu & Meeker, 1993; Hong 等, 2015)

$$Y(t) = D(t|\boldsymbol{\beta}, \mathbf{b}) + \epsilon.$$

## 2. 随机过程模型 (stochastic model)

$$Y(t) = X(t) + \epsilon.$$

- 👉 持续的热点: google scholar 显示有几百万篇文章, 2025 年 1 万多篇的论文.
- 👉 随机退化过程模型包括维纳过程 (Liao and Tseng, 2006), 伽马过程 (Park & Padgett, 2005), 逆高斯过程 (Wang & Xu, 2010), 指数扩散过程 (Zhou & Xu, 2019), Ornstein-Uhlenbeck 过程, 等.
- 👉 综述论文: Ye & Xie (2015), Zhang 等 (2018).

## 1 引言

## 2 基本退化模型

- 维纳退化过程
- 伽马退化过程
- 逆高斯退化过程
- 指数分散退化过程

## 3 高级退化模型

## 4 总结

## 标准维纳过程

- 1  $B(0) = 0$ ;
- 2  $B(t)$  有平稳独立增量;
- 3 对任意  $t, s \geq 0$ ,  $B(t+s) - B(s) \sim N(0, t^2)$ ;
- 4  $B(t)$  关于  $t$  是连续函数,

## 带时间漂移的线性维纳过程

$$Y(t) = \beta t + \sigma B(t), \quad (2.1)$$

其中参数  $\beta$  和  $\sigma$  分别为漂移参数和扩散参数.

- 👉 退化增量的分布:  $\Delta Y(t) = Y(t + \Delta t) - Y(t) \sim N(\beta \Delta t, \sigma^2 \Delta t)$ ;
- 👉 寿命的分布:  $T \sim IG(\omega/\beta, \omega^2/\sigma^2)$ ;  $E(T) = \omega/\beta$ .

## 带时间漂移的非线性维纳过程 (Whitmore, 1995)

$$Y(t) = \beta\Lambda(t) + \sigma B(\Lambda(t)), \quad (2.2)$$

其中  $\Lambda(t)$  为时间尺度函数, 用于描述性能退化可能随时间呈现非线性趋势, 例如  $\Lambda(t) = t^\alpha$  能够灵活地描述线性、凹形或凸形的退化路径.

👉 退化增量的分布:


$$\Delta Y(t) \sim N(\beta\Delta\Lambda(t), \sigma^2\Delta\Lambda(t)),$$

其中  $\Delta\Lambda(t) = \Lambda(t + \Delta(t)) - \Lambda(t)$ .

## 广义维纳过程

$$M_0 : Y(t) = \beta\Lambda(t) + \sigma(\beta)B(\tau(t)), \quad (2.3)$$

其中  $\Lambda(t) = \Lambda(t; r)$  和  $\tau(t) = \tau(t; b)$  为两个单调递增的时间变换函数,  $\Lambda(0) = \tau(0) = 0$ ,  $B(\cdot)$  为标准维纳过程 (布朗运动).

 退化增量的分布:

$$\Delta Y(t) \sim N(\beta\Delta\Lambda(t), \sigma^2(\beta)\Delta\tau(t)),$$

其中  $\Delta\Lambda(t) = \Lambda(t + \Delta(t)) - \Lambda(t)$ ,  $\Delta\tau(t) = \tau(t + \Delta(t)) - \tau(t)$ .

- 1 传统维纳退化模型 (TWM) (当  $\sigma(\beta) = \sigma$  时)
  - ▮  $\Lambda(t) = \tau(t) = t$ : 线性漂移的退化过程
  - ▮  $\Lambda(t) = \tau(t) = \Lambda(t; r)$ : 非线性漂移的退化过程
  - ▮  $\Lambda(t) = \Lambda(t; r), \tau(t) = t$ : 非线性 TWM 的简化形式
- 2 广义维纳退化模型-类型 I (NWM-I) (当  $\sigma(\beta) = \beta\kappa$  时)
  - ▮  $\Lambda(t) = \tau(t) = \Lambda(t; r)$ : 非线性 NWM-I (Ye, Chen 等, 2015)
  - ▮  $\Lambda(t) = \Lambda(t; r), \tau(t) = t$ : NWM-I (Wang 等, 2019)
- 3 广义维纳退化模型-类型 II (NWM-II) (当  $\sigma(\beta) = \beta^{1/2}\kappa$  时)
  - ▮  $\Lambda(t) = \tau(t) = \Lambda(t; r)$ : 非线性 NWM-II (Zhai, Chen 等, 2018)
  - ▮  $\Lambda(t) = \Lambda(t; r), \tau(t) = t$ : NWM-II
- 4 NWM-II 的优点:
  - ▮ 具有随时间变化的均值-方差比, 退化率与波动率相依
  - ▮ 数学性质更好

## 👉 模型的两部分:

- 1 退化增量  $\Delta Y(t)$  的分布 (似然函数)
- 2 异质性参数及其分布, 例如  $\beta_i \sim \text{IG}(a, b)$

## 👉 两大主流方法:

- 1 基于 EM 算法的极大似然估计, 其中  $\beta_i$  视为隐变量 (数据扩充)
- 2 基于 MCMC 的分层贝叶斯估计, 其中  $\beta_i$  视为一层先验, 对于其中的超参数及模型中的其他参数再给出一层先验。

## 👉 算法依赖于:

- 1 EM 算法或 MCMC 算法参数初始值的确定
- 2 模型选择:  $\Lambda(t), \tau(t)$  的确定

参见徐安察, 汤银才, 庄亮亮 (2026, 第二章) 及相关参考文献.



## 1 引言

## 2 基本退化模型

- 维纳退化过程
- 伽马退化过程
- 逆高斯退化过程
- 指数分散退化过程

## 3 高级退化模型

## 4 总结

## (齐次) 伽马退化过程

$\{Y(t), t \geq 0\}$  满足以下性质:

- ①  $Y(0) = 0$ ;
  - ②  $\{Y(t), t \geq 0\}$  具有平稳和独立增量;
  - ③ 退化增量的分布:  $\Delta Y_t = Y(t+s) - Y(s) \sim Ga(\alpha t, \beta)$
- 👉 寿命分布:

$$T \sim F_T(t | \alpha, \beta) = P(T < t) = P(Y(t) > \omega) = \frac{\Psi(\beta\omega, \alpha t)}{\Gamma(\alpha t)}, \quad (2.4)$$

其中  $\Psi(k, \alpha)$  是上不完全伽马函数.

- 👉 近似寿命分布 (Park & Padgett, 2005):  $T \sim BS(\alpha^*, \beta^*)$ ,  
 $MTTF = \beta^*(1 + \alpha^{*2}/2)$ ,

$$F_T(t | \alpha, \beta) = \Phi \left( \frac{1}{\alpha^*} \left[ \sqrt{\frac{t}{\beta^*}} - \sqrt{\frac{\beta^*}{t}} \right] \right), \quad \text{其中 } \alpha^* = \sqrt{\frac{1}{\beta\omega}}, \beta^* = \frac{\beta\omega}{\alpha}. \quad (2.5)$$

- 👉 异质性参数:  $\beta$
- 👉 数据:  $y_{ij} = Y_{ij} - Y_{ij-1} \sim Ga(\alpha t_j, \beta_i)$  ( $Y_{i0} = 0$ )  $\Rightarrow$  似然函数  $L(\alpha, \beta_1, \dots, \beta_n)$
- 👉  $\alpha, \beta_1, \dots, \beta_n$  的**共轭先验** (在  $t_{i,j} = T_{i,j} - T_{i,j-1} = l$  下)

$$\pi(\alpha, \beta_1, \dots, \beta_n) = C \frac{(\bar{\beta}_g \omega)^{\delta_1 l \alpha}}{[\Gamma(l\alpha)]^{\delta_1}} \exp \left\{ - \sum_{i=1}^n \delta_2 \lambda_i \beta_i \right\}, \quad (2.6)$$

其中  $C$  是正则化常数,  $\delta_1, \delta_2, \omega$  和  $\lambda_i$  是非负超参数.

- 👉 给定  $\alpha$  时,  $\beta_i$  的条件先验分布为  $Ga(1 + \delta_1 l \alpha / n, \delta_2 \lambda_i)$ ,  $\alpha$  的边缘分布近似为伽马分布. 因此,  $\pi(\alpha, \beta_1, \dots, \beta_n)$  为近似伽马-多元伽马分布.
- 👉 由共轭性,  $\pi(\alpha, \beta_1, \dots, \beta_n)$  的后验分布也近似为伽马-多元伽马分布.
- 👉 更一般情形及详细过程, 见徐安察, 汤银才, 庄亮亮 (2026, 第 3.2 节).

👉 定义: 假设在时间  $t_m$  监测到第  $i$  个产品的退化轨迹  $\{Y_{i1}, \dots, Y_{im}\}$  均满足  $Y_{ij} < \omega$  (其中  $\omega$  为失效阈值), 则其在时间  $t_m$  的 RUL 定义为

$$Z_{it_m} = \inf\{z : Y_i(z + t_m) > \omega | Y_{ij} < \omega, j = 1, \dots, m\}.$$

👉 分布函数为  $Z_{it_m}$  的 CDF 为

$$F_{Z_{it_m}}(z | \alpha, \beta_i) = \frac{\Psi(\beta(\omega - Y_{im}), \alpha z)}{\Gamma(\alpha z)}.$$

👉 近似 RUL 分布 (Park & Padgett, 2005):  $Z_{it_m} \sim BS(\alpha_{im}^*, \beta_{im}^*)$ , 其中

$$\alpha_{im}^* = \sqrt{\frac{1}{\beta_i(\omega - Y_{im})}}, \quad \beta_{im}^* = \frac{\beta_i(\omega - Y_{im})}{\alpha}.$$

👉 定义:  $\{Y(t), t \geq 0\}$  满足

1  $Y(0) = 0;$

2  $\{Y(t), t \geq 0\}$  具有平稳和独立增量;

3 退化增量的分布:  $\Delta Y_t = Y(t+s) - Y(s) \sim Ga(\alpha t, \eta/\alpha)$

👉  $E(Y(t)) = \eta t, \text{Var}(Y(t)) = \eta^2 t / \alpha, \text{CV} = 1/\sqrt{\alpha t}$

👉 异质性参数:  $\eta \sim LN(\mu, \sigma^2)$

👉 统计推断: 变分贝叶斯 (周世荣等, IEEE Tr. R, 2023). 使用易处理的代理分布来近似复杂的 EM 算法或贝叶斯后验计算中低效的计算.

👉 相比经典伽马退化过程模型的好处

🔺 参数解释性更好: 参数  $\eta$  表示平均退化速率 (或斜率), 而参数  $\alpha$  则量化总体样本退化过程的波动程度.

🔺 便于 VB 的实现

## 1 引言

## 2 基本退化模型

- 维纳退化过程
- 伽马退化过程
- 逆高斯退化过程
- 指数分散退化过程

## 3 高级退化模型

## 4 总结

👉 定义:  $\{Y(t), t \geq 0\}$  满足

①  $Y(0) = 0;$

②  $\{Y(t), t \geq 0\}$  具有平稳和独立增量;

③ 退化增量的分布:  $\Delta Y_t = Y(t+s) - Y(s) \sim IG(\alpha t, \lambda t^2)$

👉  $E[Y(t)] = \alpha t, \text{Var}[Y(t)] = \alpha^3 t / \lambda.$

👉 异质性参数:  $v = 1/\alpha$

👉 参数解释性更好:

🔺  $\alpha$  表示退化速率, 直接反映系统性能随时间推移的衰减速度

🔺  $\lambda$  作为扩散系数, 衡量退化过程的波动程度, 表征退化路径的随机性和不确定性.

👉 寿命分布 (其中  $\Phi(\cdot)$  为标准正态分布的 CDF)

$$F(t) = \Phi \left[ \sqrt{\frac{\lambda}{\omega}} \left( t - \frac{\omega}{\alpha} \right) \right] - \exp \left( \frac{2\lambda t}{\alpha} \right) \Phi \left[ -\sqrt{\frac{\lambda}{\omega}} \left( \frac{\omega}{\alpha} + t \right) \right], \quad (2.7)$$

👉 退化增量的分布:

$$\Delta Y_t = Y(t+s) - Y(s) \sim IG(\Lambda(t, \beta)/\nu, \lambda\Lambda(t, \beta)^2),$$

其中  $\Lambda(t, \beta)$  为时间尺度变换函数.

👉 具有子总体异质性的 IG 退化模型为

$$\begin{aligned} Y(t) \mid \nu &\sim IG(\Lambda(t, \beta)/\nu, \lambda\Lambda(t, \beta)^2), \\ \nu &\sim \sum_{k=1}^K p_k N(\mu_k, \sigma_k^2/\lambda), \end{aligned} \quad (2.8)$$

其中  $p_k$  为第  $k$  个子总体的比例,  $N(\cdot)$  表示高斯分布,  $K$  为子群体总数.

👉 统计推断: EM 算法. 参见徐安察, 汤银才, 庄亮亮 (2026, 第 4.2 节)



## 1 引言

## 2 基本退化模型

- 维纳退化过程
- 伽马退化过程
- 逆高斯退化过程
- 指数分散退化过程

## 3 高级退化模型

## 4 总结

👉 定义:  $\{Y(t), t \geq 0\}$  满足

❶  $Y(0) = 0;$

❷  $\{Y(t), t \geq 0\}$  具有独立增量性;

❸  $\Delta Y_t = Y(t+s) - Y(s) \sim ED(\mu\Lambda(t; \alpha), \lambda)$ , 其密度函数为

$$f(\Delta y; \theta, \lambda, \alpha) = c(\Delta y | \Delta\Lambda(t; \alpha), \lambda) \exp \{ \lambda [\Delta y \theta - \Delta\Lambda(t; \alpha) \kappa(\theta)] \}, \quad (2.9)$$

其中  $\Lambda(\cdot)$  是时间  $t$  的单调递增函数,  $\alpha$  为未知参数,  $c(\cdot)$  是正则化常数;  $\kappa(\cdot)$  是累积函数 (cumulant function), 其导数决定了 ED 分布的连续累积量.

👉  $\mu$  为漂移参数,  $\lambda$  为扩散参数.  $\mu$  是  $\theta$  的函数, 两者存在 1-1 对应关系 (见(43)).

👉 若  $\Lambda(t; \alpha) = t$ , ED 过程可简化为 Tseng 等 (2016) 提出的平稳 ED 退化模型.

👉  $E(Y(t)) = \mu\Lambda(t; \alpha)$ ,  $\text{Var}(Y(t)) = V(\mu)\Lambda(t; \alpha)/\lambda$ .

👉 称  $V(\mu)$  为方差函数.

## 指数分散退化过程与其他过程的关系

☞ Tweedie 模型 (Tweedie, 1984): 若方差函数  $V(\mu)$  具有形式

$$V(\mu) = \mu^d, d \in (-\infty, 0] \cup [1, \infty), \quad (2.10)$$

☞ 特例:

- ①  $d = 0$ : 维纳过程
- ②  $d = 2$ : 伽马过程
- ③  $d = 3$ : IG 过程
- ④  $1 < d < 2$ : 复合泊松过程

☞ 式(2.9)中  $\kappa(\theta)$  的表示 (Dunn 等, 2005)

$$\theta = \begin{cases} \frac{\mu^{1-d}}{1-d}, & d \neq 1, \\ \log \mu, & d = 1, \end{cases} \quad \kappa(\theta) = \begin{cases} \frac{\mu^{2-d}}{2-d}, & d \neq 2, \\ \log \mu, & d = 2. \end{cases} = \begin{cases} \exp(\theta), & d = 1, \\ -\log(-\theta), & d = 2, \\ \frac{[(1-d)\theta]^{(2-d)/(1-d)}}{2-d}, & d \neq 1, 2. \end{cases}$$

表 2.1: 当  $\mu = 1$  时  $d$  与  $\theta$  及  $\kappa(\theta)$  的关系.

$d$	随机过程	$\theta$	$\kappa(\theta)$
0	维纳过程	1	$\theta^2/2$
1	泊松过程	0	$\exp(\theta)$
(1, 2)	复合泊松过程	$\frac{1}{1-d}$	$\frac{[(1-d)\theta]^{(2-d)/(1-d)}}{2-d}$
2	伽马过程	-1	$-\log(-\theta)$
3	逆高斯过程	$-\frac{1}{2}$	$-\sqrt{-2\theta}$

## 参数 $d$ 的重要性: 离散程度与 $\mu$ 的关系

- 👉 参数  $d$  不仅决定方差函数的形式, 还反映了**数据的离散程度**.
- 👉 当  $d = 0$  时,  $\text{Var}(Y(t)) = \Lambda(t; \alpha)/\lambda$ , 方差与  $\mu$  无关;
- 👉 当  $d \geq 1$  时, 方差与  $\mu$  相关:  $\mu$  越大, 方差越大.
- 👉 由  $V(\mu) = \mu^d$  知, 由伽马过程 ( $d = 2$ ) 或 IG 过程 ( $d = 3$ ) 生成的退化数据相比于维纳过程 ( $d = 0$ ) 会更分散.

- 👉 难点:  $c(\cdot), \kappa(\cdot)$  仅在某些特殊  $d$  值下才有解析形式; 通常需要近似.
- 👉 退化增量的分布 (Jørgensen, 1986, 1987, 1998, 1998)

$$f(\Delta y_j; \Theta) = a(\Delta y_j \mid \Delta \Lambda(t_j; \alpha); \lambda) \exp \left\{ -\frac{\lambda \Delta \Lambda(t_j; \alpha)}{2} D(\Delta y_j \mid \Delta \Lambda(t_j; \alpha); \mu) \right\},$$

其中  $\Theta = (\lambda, d, \mu, \alpha)$ ,  $D(\Delta y_j \mid \Delta \Lambda(t_j; \alpha); \mu)$  为单位偏差, 见表2.2,  $a(\Delta y_j \mid \Delta \Lambda(t_j; \alpha); \lambda)$  可用鞍点近似表达为 (Jørgensen, 1998)

$$a(\Delta y_j \mid \Delta \Lambda(t_j; \alpha); \lambda) \approx \{2\pi\lambda^{-1}\Delta\Lambda(t_j; \alpha)V(\Delta y_j/\Delta\Lambda(t_j; \alpha))\}^{-1/2}.$$

### 👉 可靠度函数 $R(t; \Theta)$

- 🔺 当  $d = 0$  时, ED 模型简化为维纳过程, 此时具有解析形式 (Xu, Shen 等, 2018);
- 🔺 当  $d \geq 1$  时, 可靠性函数可表示为  $R_{ED}(\omega; t, \Theta)$ , 其中  $R_{ED}(\cdot)$  表示均值为  $\mu\Lambda(t; \alpha)$ 、方差为  $\mu^d\Lambda(t; \alpha)/\lambda$  的 ED 分布的可靠性函数.
- 🔺 当  $d < 0$  时, 直接计算  $R(t; \Theta)$  较为困难, 此时可采用蒙特卡洛方法.

表 2.2: Tweedie 模型的单位偏差  $D(\Delta y_j | \Delta \Lambda(t_j; \alpha); \mu)$ .

随机过程	单位偏差
泊松过程 ( $d = 1$ )	$2 \left\{ \frac{y}{\Lambda(t; \alpha)} \log \left( \frac{y}{\Lambda(t; \alpha) \mu} \right) - \left( \frac{y}{\Lambda(t; \alpha)} - \mu \right) \right\}$
伽马过程 ( $d = 2$ )	$2 \left\{ \frac{y}{\Lambda(t; \alpha)} \log \left( \frac{y}{\Lambda(t; \alpha) \mu} \right) + \frac{y}{\Lambda(t; \alpha) \mu} - 1 \right\}$
其他过程 ( $d \neq 1, 2$ )	$2 \left\{ \frac{(y/\Lambda(t; \alpha))^{2-d}}{(1-d)(2-d)} - \frac{y\mu^{1-d}}{\Lambda(t; \alpha)(1-d)} + \frac{\mu^{2-d}}{2-d} \right\}$

✎ 异质性参数:  $\mu \sim TN(\eta, 1/\tau^2)$  (截断正态分布), 其 PDF 为

$$f_{TN}(\mu) = \frac{\tau\phi(\tau(\mu - \eta))}{1 - \Phi(-\tau\eta)}, \quad \mu > 0, \tau > 0,$$

✎ 异质性参数:  $\lambda \sim Ga(\alpha_\lambda, \beta_\lambda)$ , 其 PDF 为

$$f_{Ga}(\lambda) = \frac{\beta_\lambda^{\alpha_\lambda}}{\Gamma(\alpha_\lambda)} \lambda^{\alpha_\lambda - 1} \exp\{-\beta_\lambda \lambda\}.$$

✎ 异质性参数:

$$\begin{aligned} \mu | \lambda &\sim TN(\eta, \tau^{-2}/\lambda), \\ \lambda &\sim Ga(\alpha_\lambda, \beta_\lambda) \end{aligned} \quad (\text{伽马—截断正态混合分布}). \quad (2.11)$$

✎ 统计推断: EM, MCMC. 见徐安察, 汤银才, 庄亮亮 (2026, 第 5.1 节).



- 1 引言
- 2 基本退化模型
- 3 高级退化模型
- 4 总结

- 1 带测量误差的退化模型
- 2 带变点的退化模型
- 3 加速退化模型
- 4 多元 (竞争) 退化模型
- 5 动态退化模型
- 6 其他复杂系统的退化模型

## 1 引言

## 2 基本退化模型

## 3 高级退化模型

- 带测量误差的退化模型
- 带变点的退化模型
- 加速退化模型
- 多元(竞争)退化模型
- 动态退化模型

## 4 总结

👉 理论模型:

$$Y(t) = X(t) + \varepsilon$$

$$X(t) = \beta\Lambda(t) + \sigma\mathcal{B}(\Lambda(t)) \text{ (维纳退化过程)} \quad (3.1)$$

$$\varepsilon \sim N(0, \gamma^2) \text{ (观测误差)}$$

👉 数据模型:

$$Y(t_{i,j}) = X(t_{i,j}) + \varepsilon_{i,j}, i = 1, 2, \dots, n, j = 1, 2, \dots, m. \quad (3.2)$$

👉 其中

▣  $\varepsilon_{i,j}, j = 1, 2, \dots, m$  独立同分布 (i.i.d.)

▣  $\varepsilon$  与  $X(t)$  独立

▣  $Y(t_{i,\cdot})$  与  $Y(t_{j,\cdot})$  ( $i \neq j$ ) 独立

▣ 异质性参数:  $\beta \sim N(\mu, \kappa^2)$

令  $\Delta Y_{i,1} = Y_{i,1}$ ,  $\lambda_{i,1} = \Lambda_{i,1}$ ,  $\Delta Y_{i,j} = Y_{i,j} - Y_{i,j-1}$ ,  $\lambda_{i,j} = \Lambda_{i,j} - \Lambda_{i,j-1}$   
 ( $i = 1, 2, \dots, n; j = 1, 2, \dots, m$ ), 则  $\Delta \mathbf{Y}_i = (\Delta Y_1, \dots, \Delta Y_m)'$  服从多元正态分布  $\mathcal{N}(\beta \boldsymbol{\lambda}_i, \boldsymbol{\Sigma}_i)$ ,

$$f(\Delta \mathbf{y}_i) = (2\pi)^{-\frac{m}{2}} |\boldsymbol{\Sigma}_i|^{-\frac{1}{2}} \exp \left[ -\frac{1}{2} (\Delta \mathbf{y}_i - \beta \boldsymbol{\lambda}_i)' \boldsymbol{\Sigma}_i^{-1} (\Delta \mathbf{y}_i - \beta \boldsymbol{\lambda}_i) \right]$$

其中  $\Delta \mathbf{y}_i = (\Delta y_{i,1}, \Delta y_{i,2}, \dots, \Delta y_{i,m})'$ ,  $\boldsymbol{\lambda}_i = (\lambda_{i,1}, \lambda_{i,2}, \dots, \lambda_{i,m})'$ ,  $\boldsymbol{\Sigma}_i$  是协方差矩阵, 其第  $(g, k)$  个元素为

$$\text{Cov}(\Delta Y_{i,g}, \Delta Y_{i,k} | \beta) = \begin{cases} \sigma^2 \lambda_{i,1} + \gamma^2, & g = k = 1; \\ \sigma^2 \lambda_{i,k} + 2\gamma^2, & g = k > 1; \\ -\gamma^2, & g = k + 1 \text{ 或 } g = k - 1; \\ 0, & \text{其他} \end{cases}$$

## 1 引言

## 2 基本退化模型

## 3 高级退化模型

- 带测量误差的退化模型
- 带变点的退化模型
- 加速退化模型
- 多元(竞争)退化模型
- 动态退化模型

## 4 总结

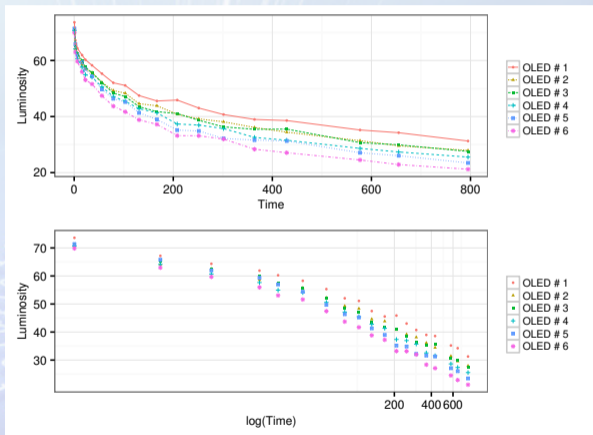


图 3.1: OLED 光度退化数据: 上方为时间轴, 下方为对数时间轴.

- 👉 早期工作: Tseng et al. (1995), Bae and Kvam (2006), Bae et al. (2008), Bae et al. (2015).
- 👉 维纳过程: Wang et al. (2018a, 2018b), Zhang et al. (2019), Li & Wang et al. (2023), etc.
- 👉 伽马退化过程: Ling et al. (2021), Wang, Tang, Chen (2022).
- 👉 IG 退化过程: Duan and Wang (2017), Ma et al. (2023).
- 👉 重参数化 IG 退化过程: Zhuang, Xu, Wang, Tang (2024, EJOR)

## 我们的工作

- 👉 Wang, Tang, Bae, He (2018, RESS) 针对 OLE 退化数据给出了带变点的维纳退化过程的贝叶斯推断方法.
- 👉 Wang, Tang, Bae, Xu (2018, IEEE Tr. R) 进一步考虑了带测量误差的情况.



考虑维纳退化模型

$$X(t) = m(t) + \sigma \mathcal{B}(t), \quad (3.3)$$

漂移参数  $m(t) = \beta t$  上设定变点  $\tau$ :

$$(t; \beta^H, \beta^L, \tau) = \begin{cases} \beta^H t, & \text{若 } t \leq \tau \\ \beta^L(t - \tau) + \beta^H \tau, & \text{若 } t > \tau, \end{cases} \quad (3.4)$$

加上测量误差  $\epsilon \sim \mathcal{N}(0, \gamma^2)$ :

$$Y(t) = X(t) + \epsilon, \quad (3.5)$$

异质性参数:  $\beta^H, \beta^L, \tau$

## 👉 期望

$$\Delta m_{i,j} = \begin{cases} \beta_i^H \Delta t_{i,j}, & \text{若 } \tau_i \geq t_{i,j+1}, \\ \beta_i^H (\tau_i - t_{i,j}) + \beta_i^L (t_{i,j+1} - \tau_i), & \text{若 } t_{i,j} \leq \tau_i < t_{i,j+1}, \\ \beta_i^L \Delta t_{i,j}, & \text{若 } \tau_i < t_{i,j}, \end{cases}$$

## 👉 $\Delta Y_{i,g}$ 与 $\Delta Y_{i,k}$ 的协方差

$$\text{Cov}(\Delta Y_{i,g}, \Delta Y_{i,k}) = \begin{cases} \sigma^2 \Delta t_{i,1} + \gamma^2, & \text{若 } k = g = 1, \\ \sigma^2 \Delta t_{i,k} + 2\gamma^2, & \text{若 } k = g > 1, \\ -\gamma^2, & \text{若 } k = g + 1 \text{ 或 } g = k + 1, \\ 0, & \text{其他,} \end{cases}$$

👉  $\boldsymbol{\beta}^H \equiv (\beta_1^H, \dots, \beta_n^H).$

👉  $\boldsymbol{\beta}^L \equiv (\beta_1^L, \dots, \beta_n^L).$

👉  $\boldsymbol{\tau} \equiv (\tau_1, \dots, \tau_n).$

👉  $\boldsymbol{\theta} = (\boldsymbol{\beta}^H, \boldsymbol{\beta}^L, \boldsymbol{\tau}, \sigma^2, \gamma^2).$

## $(\boldsymbol{\beta}^H, \boldsymbol{\beta}^L, \boldsymbol{\tau}, \sigma^2, \gamma^2)$ 的似然函数

$$L(\boldsymbol{\theta}) = \prod_{i=1}^n (2\pi)^{-\frac{n_i-1}{2}} |\Sigma_i|^{-\frac{1}{2}} \exp \left[ -\frac{(\Delta \mathbf{y}_i - \Delta \mathbf{m}_i)^\top \Sigma_i^{-1} (\Delta \mathbf{y}_i - \Delta \mathbf{m}_i)}{2} \right]. \quad (3.6)$$

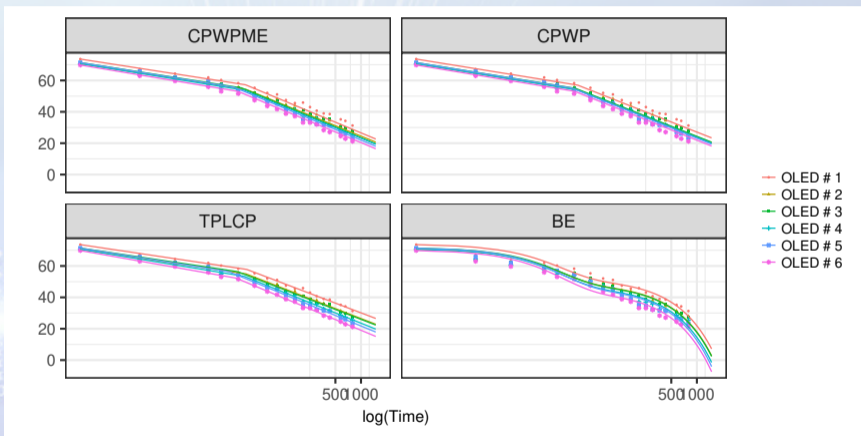


图 3.2: 四种不同方法的拟合结果, 横轴为对数时间.

准则: 均方预测误差 (MSPE, Mean squared prediction error)

$$\text{MSPE} = \sum_{j=1}^{n_i} (y_{i,j} - \hat{y}_{i,j})^2, \quad (3.7)$$

6 个退化数据用于拟合, 第 7 个退化数据用于预测.

表 3.1: 第 7 个 OLED 退化轨道的 MSPE.

Model	CPWPME	CPWP	TPLCP	BE
MSPE	360.04	406.04	436.29	678.53

## 1 引言

## 2 基本退化模型

## 3 高级退化模型

- 带测量误差的退化模型
- 带变点的退化模型
- 加速退化模型
- 多元(竞争)退化模型
- 动态退化模型

## 4 总结

- ➡ 在每个应力水平  $S_l, l = 1, \dots, r$ , 下施加恒定应力, 并且在每个恒定应力下有  $n_l$  产品进行试验.
- ➡ 在每一个恒定应力水平  $S_l, l = 0, 1, \dots, r$ , 下, 产品的退化量  $y_l(t)$  是服从一个带漂移  $\eta(S_l)$  和扩散参数  $\delta^2$  的 Wiener 过程.

$$y_l(t) = \eta(S_l)t + \delta B(t),$$

- ➡ 参数  $\eta_l = \eta(S_l)$  与应力  $S_l, l = 0, 1, \dots, r$ , 之间的关系为如下

$$\ln(\eta_l) = a + b\varphi(S_l), \quad (3.8)$$

其中  $a, b$  是待估参数.

- ➡ 统计推断: Lim & Yum (2011), Guan, Tang, Xu(2016)

$r = 3$  时典型的步加退化试验示意图.

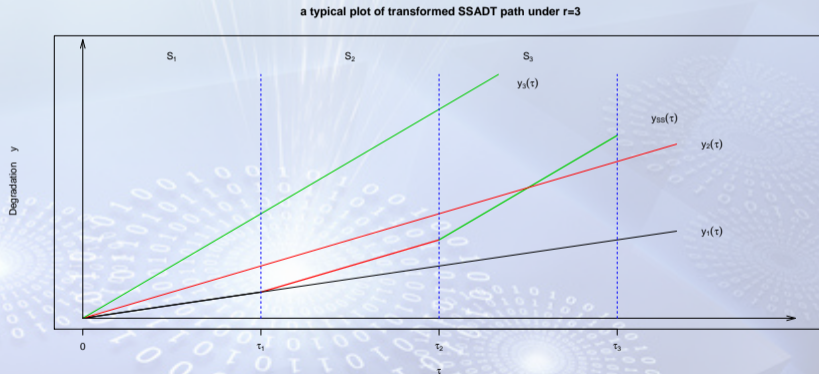


图 3.3: 步进应力退化试验



➡ 步进应力加速退化试验的应力  $S$  为如下

$$S = \begin{cases} S_1, & \text{若 } 0 \leq t < t_1; \\ \vdots & \vdots \\ S_r, & \text{若 } t_{r-1} \leq t < t_r. \end{cases}$$

➡ 每一个恒定应力水平  $S_l, l = 0, 1, \dots, r$ , 下, 退化量  $y_l(t)$  有

$$y_l(\tau) = \phi(y(t|S_l)) = \eta_l t + \delta B(t), l = 0, 1, \dots, r.$$

➡ 参数  $\eta_l = \eta(S_l)$  与应力  $S_l, l = 0, 1, \dots, r$ , 之间的关系为如下

$$\ln(\eta_l) = a + b\varphi(S_l), \quad (3.9)$$

👉 折算模型:

$$y_{SS}(t) = \begin{cases} \eta_1 t + \delta B(t), & t \in [0, t_1) \\ \eta_2 (t - t_1) + \eta_1 t_1 + \delta B(t), & t \in [t_1, t_2) \\ \vdots \\ \eta_l (t - t_{k-1}) + \sum_{l=1}^{k-1} \eta_l (t_l - t_{l-1}) + \delta B(t), & t \in [t_{k-1}, t_k) \end{cases}$$

👉 统计推断

- 🔺 早期见 Liao & Tseng (2006)
- 🔺 Guan, Tang, Xu (2016) 给出了客观贝叶斯推断
- 🔺 Zhou, Tang 等 (2026, RESS) 给出了一个基于 INLA 的加速贝叶斯推断算法

- 👉 在恒定应力水平  $S_l, l = 0, 1, \dots, r$ , 下, 产品的退化量  $y_l(t)$  是服从 ED 过程或 TED 过程.

$$y_l \sim ED(\mu(S_l)\Lambda(t_i; \alpha), \lambda)$$

$$\text{或 } y_l \sim TED(\mu(S_l)\Lambda(t_i; \alpha), \lambda, d)$$

- 👉 参数  $\eta_l = \eta(S_l)$  与应力  $S_l, i = 0, 1, \dots, r$ , 之间的关系为如下

$$\mu(S_l) = \mu \exp(\beta\phi(S_l)), \quad (3.10)$$

- 👉 Wang, Tang (2025, STARF) 进一步考虑更一般的情况:

$$\mu(S_l) = \mu \exp(\beta\phi(S_l)) + \varepsilon_i, \quad \varepsilon \sim N(0, \delta^2) \quad (3.11)$$

- 👉 异质性参数:  $\mu$ .

## 1 引言

## 2 基本退化模型

## 3 高级退化模型

- 带测量误差的退化模型
- 带变点的退化模型
- 加速退化模型
- 多元 (竞争) 退化模型
- 动态退化模型

## 4 总结

# 示例 1: HMT 退化数据

- 为保持重型机床的高可用性与高效率，需实施预防性维护和系统健康管理。
- 重型机床 (HMT, heavy machine tool) 具有两个关键性能指标：定位精度和输出功率。
- 当定位精度超过阈值  $\omega_1 = 35$  或输出功率超过阈值  $\omega_2 = 120$  时，判定 HMT 发生故障。
- 目的：
  - 建立二元退化过程
  - 预测退化轨道上的缺失值

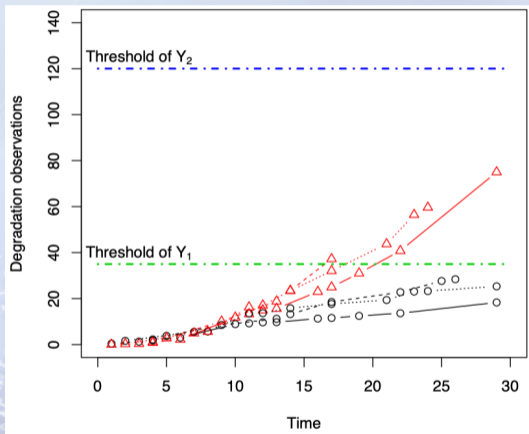


图 3.4: HMT 定位精度和输出功率的退化路径.

$$Y_s(t) = \alpha\beta_s h_s(t, \gamma_s) + \sigma_s B_s(h_s(t, \gamma_s)), \quad s = 1, 2, \quad (3.12)$$

- ☞  $h_s(t, \gamma_s)$  递增,  $h_s(0, \gamma_s) = 0$ .
- ☞  $B_s(\cdot)$  为标准维纳过程,  $B_1(\cdot)$  与  $B_2(\cdot)$  独立.
- ☞  $\alpha \sim N(1, \delta^2)$ , 既是个**异质性参数**(单元的个体效应), 又对二个 PC 的退化产生**共同影响**(共同效应).

### $Y_1(t)$ 与 $Y_2(t)$ 的联合分布

$$(Y_1(t), Y_2(t))^T \sim \mathbf{N}_2(\mu_H, \Sigma), \quad (3.13)$$

其中  $\mu_H = (\beta_1 h_1(t, \gamma_1), \beta_2 h_2(t, \gamma_2))^T$ ,

$$\Sigma = \begin{pmatrix} \sigma_1^2 h_1(t, \gamma_1) + \delta^2 \beta_1^2 h_1^2(t, \gamma_1) & \delta^2 \beta_1 \beta_2 h_1(t, \gamma_1) h_2(t, \gamma_2) \\ \delta^2 \beta_1 \beta_2 h_1(t, \gamma_1) h_2(t, \gamma_2) & \sigma_2^2 h_2(t, \gamma_2) + \delta^2 \beta_2^2 h_2^2(t, \gamma_2) \end{pmatrix}.$$

☞  $T_s = \inf\{t : Y_s \geq \omega_s\}.$

☞  $T_1$  与  $T_2$  的联合 CDF 为

$$F(t_1, t_2) = A_1 + A_2 + A_3 + A_4,$$

其中  $A_l, l = 1, 2, 3, 4$  可表示为易于计算的式子.

☞ 系统的寿命  $T = \min(T_1, T_2)$ , 其可靠度函数为

$$R(t) = F(t, t) + 1 - F_{T_1}(t) - F_{T_2}(t), \text{ 其中}$$

$$F_{T_s}(t) = \Phi \left( \frac{\beta_s h_s(t, \gamma_s) - \omega_s}{\sqrt{\beta_s^2 \delta^2 (h_s(t, \gamma_s))^2 + \sigma_s^2 h_s(t, \gamma_s)}} \right) + \exp \left\{ \frac{2\beta_s \omega_s}{\sigma_s^2} + \frac{2\beta_s^2 \delta^2 \omega_s^2}{\sigma_s^4} \right\} \Phi \left( \frac{2\beta_s^2 \delta^2 \omega_s h_s(t, \gamma_s) + \sigma_s^2 (\beta_s h_s(t, \gamma_s) + \omega_s)}{\sigma_s^2 \sqrt{\beta_s^2 \delta^2 (h_s(t, \gamma_s))^2 + \sigma_s^2 h_s(t, \gamma_s)}} \right)$$

👉 第  $s$  个 PC 在时刻  $t_k$  的 RUL:

$$L_{t_k}^{(s)} = \inf\{l : Y_s(l + t_k) \geq \omega_s | Y_s(t_j) < \omega_s, j = 1, 2, \dots, k\}, s = 1, 2,$$

其中  $t_1, \dots, t_k$  测量的时间.

👉 系统的 RUL:

$$L_{t_k} = \min(L_{t_k}^{(1)}, L_{t_k}^{(2)}).$$

👉  $L_{t_k}$  在时刻  $l$  的可靠度函数:

$$R_{L_{t_k}}(l) = F_{L_{t_k}}(l, l) + 1 - F_{L_{t_k}^{(1)}}(l) - F_{L_{t_k}^{(2)}}(l), \quad (3.14)$$

其中  $F_{L_{t_k}^{(s)}}(l)$  是  $L_{t_k}^{(s)}$  的 CDF, 可解析表示.



# 统计推断: 基于 Gibbs 抽样的贝叶斯方法

- 👉 数据:  $(y_{isj}, t_{isj}), i = 1, 2, \dots, n, s = 1, 2, j = 1, 2, \dots, m_{is}$
- 👉  $y_{is0} = 0, z_{isj} = y_{isj} - y_{is(j-1)}, \Lambda_{isj} = h_s(t_{isj}, \gamma_s) - h_s(t_{is(j-1)}, \gamma_s)$
- 👉 贝叶斯模型 (第  $i$  个系统)

$$\begin{aligned}
 z_{isj} | \alpha_i &\sim \mathbf{N}(\alpha_i \beta_s \Lambda_{isj}, \sigma_s^2 \Lambda_{isj}), \\
 \alpha_i &\sim \mathbf{N}(1, \delta^2), \\
 \beta_s &\sim \mathbf{N}(1, 10^3); 1/\sigma_s^2 \sim \mathbf{IG}(0.01, 0.01), \\
 1/\delta^2 &\sim \mathbf{IG}(0.01, 0.01); \gamma_s \sim \mathbf{IG}(0.01, 0.01).
 \end{aligned}$$

- 👉 满条件后验分布:  $\alpha_i, \beta_s$  为正态;  $\sigma_s^2$  为 IG;  $\gamma_s$  的可解析表示为

$$\prod_{i=1}^n \prod_{s=1}^2 \prod_{j=1}^{m_{is}} \frac{1}{\sqrt{\Lambda_{isj}}} \exp\left\{-\frac{(z_{isj} - \alpha_{is} \Lambda_{isj})^2}{2\sigma_s^2 \Lambda_{isj}}\right\} (\gamma_s)^{c_s-1} \exp\{-d_s \gamma_s\}.$$

取  $h_1(t, \gamma_1) = t$ ,  $h_2(t, \gamma_2) = t^{\gamma_2}$  (Peng et al., 2016).

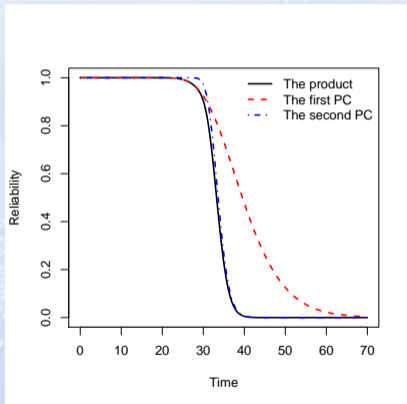


图 3.5: 系统及二个 PC 的可靠度.

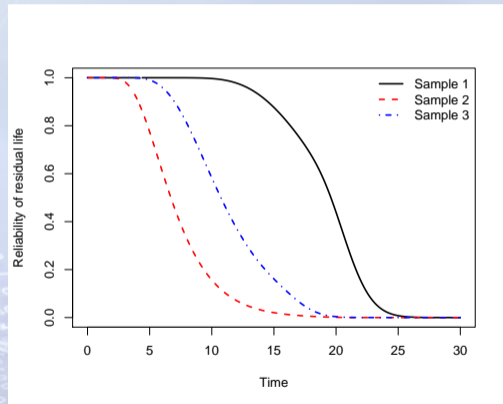
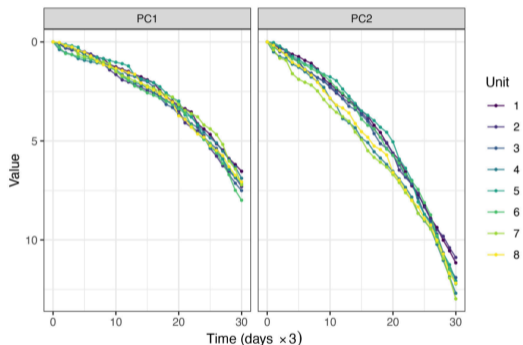
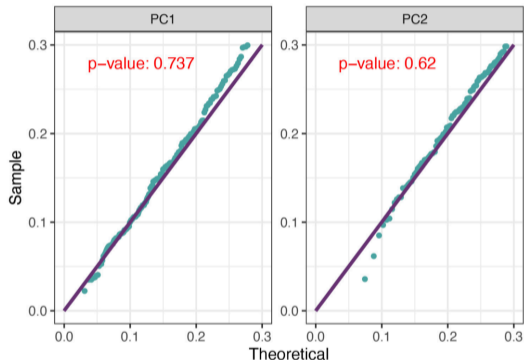


图 3.6: 三个系统 RUL 的可靠度.

## 示例 2: 永磁制动器 (PMB) 退化数据



(a) Degradation paths



(b) Q-Q plots using IG distribution

图 3.7: PMB 两类性能特征量 (PC1, PC2) 的退化路径及 IG 分布的 Q-Q 图。

Unit	1	2	3	4	5	6	7	8
Correlation	0.819	0.749	0.806	0.840	0.779	0.749	0.765	0.800

图 3.8: 8 个不同单元两类性能特征量之间的皮尔逊相关系数。

👉 目的: 建立多元重参数化 IG 退化过程模型

👉 估计方法: 基于 EM 的极大似然方法, 详见 (Xu 等, 2018, IEEE Tr. R)

## 1 引言

## 2 基本退化模型

## 3 高级退化模型

- 带测量误差的退化模型
- 带变点的退化模型
- 加速退化模型
- 多元(竞争)退化模型
- 动态退化模型

## 4 总结

## ☞ 部件之间的相关性建模方法

- ☞ 基于 Copula 构建多元分布 (Peng 等, 2016; Fang & Pan, 2021), **缺点**: 解释较困难
- ☞ 基于多元分布 (Fang 等, 2022), **缺点**: 验证较为复杂
- ☞ 基于共同效应模型 (Xu 等, 2018), 见上一小节, **缺点**: 共同效应与时间无关, 无法反映环境的时变效应
- ☞ 基于脆弱因子 (Frailty, 不可观测的随机比例因子) 模型 (Hougaard, 1995; Liu, 2012). **缺点**: 无法反映环境的时变效应

☞ 近期工作: Hong, Zhai, Wang, Ye (2019, IEEE TR. R.); Xu, Zhou, Tang (2021, IEEE TR. R.); Zhou et al. (2025, RESS); Zhengzhi Lin, Xiao Liu, Yisha Xiang, Yili Hong (2025, RESS).

☞ **目的: 用过程对时变的动态环境直接建模**

- 👉 **动态环境**是影响系统寿命不可忽视的重要因素, 例如,
  - ⚠️ 锂电池的寿命取决于充电和放电次数、使用习惯以及使用温度等;
  - ⚠️ 车辆刹车片和轮胎的老化或磨损过程与道路条件、驾驶习惯和使用率相关.
- 👉 **动态因素**会导致部件的等效工作时间  $A(t)$  呈现随机性, 进而**反映出动态环境对老化过程的累积影响**.
- 👉 为描述这种累积效应, Nelson (1980) 提出了累积损伤模型, 经常用于加速寿命试验, 实现不同应力下寿命试验数据的折算.
- 👉 Hong 等 (2019) 基于此假设  $A(t)$  是一个**随机时间尺度**, 并提出以下模型

$$F_i(t) = 1 - \exp\{-\eta_i A(t)\}, \quad (3.15)$$

其中  $\eta_i > 0$  为基准故障率,  $A(t)$  则描述运行环境应力对时间尺度的影响.

## 随机时间尺度模型的不足与纠正

- ✎  $F_i(t)$  包含一些常见的寿命分布作为特例, 例如,
  - ▢ 威布尔分布 ( $A(t) = t^\alpha$ )
  - ▢ Gompertz 分布 ( $A(t) = \exp(\alpha t) - 1$ )
  - ▢ Lomax 分布 ( $A(t) = \log(1 + t/\alpha)$ )
- ✎  $A(t)$  可以解释为部件老化过程的度量 (Meeker, 2018, 2021).
  - ▢ 例如, 在恒定环境下 (如恒加试验),  $A(t)$  通常被设定为确定性的时间尺度.
  - ▢ 不足: 但实际情况中, 系统部件往往处于**动态环境**中, 其工作条件可能随着时间变化而显现出随机性.
- ✎ 修正: **用退化随机过程代替静态的时间尺度函数.**
  - ▢ Hong 等 (2019): 通过复合泊松过程和 IG 过程对动态环境  $Y(t)$  进行建模, 实例中采用非齐次泊松过程代替 (近似) 复合泊松过程
  - ▢ Xu 等 (2021): 采用 ED 过程捕捉系统各部件 (子系统) 动态环境的影响. 见徐安察, 汤银才, 庄亮亮 (2026, 第 5.2 节).



## 动态退化模型

$$\begin{aligned} T_i | Y(t) &\sim F_i(t | Y(t)), \\ Y(t) &\sim \mathcal{ED}(\mu\Lambda(t; \alpha), \lambda), \end{aligned} \quad (3.16)$$

其中  $T_i$  表示部件寿命,  $F_i(t | Y(t))$  为其条件分布;  $Y(t)$  为反映时间尺度的随机过程, 服从 ED 过程  $\mathcal{ED}(\mu\Lambda(t; \alpha), \lambda)$ .

## 注:

- ▣ 随机过程  $Y(t), t \geq 0$  应满足非递减性, 并且初始值  $Y(0) = 0$ .
- ▣ 若方差函数  $V(\mu) = \mu^d$  中的  $d \leq 0$  时, ED 过程可能失去单调性, 为些限定  $d \geq 1$ .
- ▣ 为避免模型 (3.16) 中的参数出现不可识别性, 进一步假设漂移参数  $\mu = 1$ . 此时  $d$  与  $\theta$  及  $\kappa(\theta)$  之间的关系见表2.1.

## 结论 1: 二部件系统的联合生成函数

令  $T_1$  和  $T_2$  表示部件 1 和 2 的寿命. 设  $t_1$  和  $t_2$  为  $T_1$  和  $T_2$  的观测值.  $r_i$  表示  $t_i$  按升序排列时第  $i$  个部件寿命的秩. 基于寿命的秩重排基准故障率为  $\eta_{(r_i)}$ .

### 定理 3.1

若  $T_i$  的条件 CDF 定义为式 (3.15) ( $i = 1, 2$ ), 且  $Y(t) \sim \mathcal{ED}(\Lambda(t; \alpha), \lambda)$ , 则  $T_1$  和  $T_2$  的联合生存函数为

$$S(t_1, t_2) = \exp \left\{ \lambda \Lambda(t_{r_1}; \alpha) \left[ \kappa \left( \theta - \frac{\eta_1 + \eta_2}{\lambda} \right) - \kappa \left( \theta - \frac{\eta_{(2)}}{\lambda} \right) \right] + \lambda \Lambda(t_{r_2}; \alpha) \left[ \kappa \left( \theta - \frac{\eta_{(2)}}{\lambda} \right) - \kappa(\theta) \right] \right\}. \quad (3.17)$$

**注 1:** 当  $d = 1, \lambda = 1$  时, 即为 Hong 等 (2019) 中的复合泊松过程的联合生成函数. 若  $1 < d < 2, d = 2$  和  $d = 3$  分别得到特殊的结果.

### 定义 3.2

当对于所有  $t_1$  和  $t_2$ , 满足

$$P(T_1 > t_1, T_2 > t_2) \geq P(T_1 > t_1)P(T_2 > t_2),$$

则称两个随机变量  $T_1$  和  $T_2$  具有**正象限相关**(positive quadrant dependent).

### 定理 3.3

在定理 3.1 的条件下, 部件寿命  $T_1$  和  $T_2$  具有正象限相关.

**注 2:** 定理 3.3 表明, 随机时间尺度  $\{Y(t), t \geq 0\}$  引入了部件寿命之间的相关性. 当  $\{Y(t), t \geq 0\}$  为确定性函数  $\Lambda(t; \alpha)$  (即  $\lambda \rightarrow \infty$ ) 时, 可以证明  $T_1$  和  $T_2$  独立.

**注 3:** 定理 3.3 的结果也适用于某些非单调随机过程.

## 结论 3: $K$ 部件系统的联合生成函数

### 定理 3.4

若  $T_i$  的条件 CDF 定义为式 (3.15) ( $i = 1, \dots, K$ ), 且  $Y(t) \sim \mathcal{ED}(\Lambda(t; \alpha), \lambda)$ , 那么  $(T_1, \dots, T_K)$  的联合生存函数为

$$S(t_1, \dots, t_K) = \prod_{i=1}^K \exp \left\{ -\lambda \Lambda(t_{(r_i)}; \alpha) \nabla \kappa_i \right\},$$

其中  $\nabla \kappa_i = \kappa \left( \theta - \sum_{k=i+1}^K \eta(r_k) / \lambda \right) - \kappa \left( \theta - \sum_{k=i}^K \eta(r_k) / \lambda \right)$ , 且  $\sum_{k=K+1}^K \eta(r_k) = 0$ .

## 结论 3: $K$ 部件系统的联合生成函数 (续)

**注 4:** 定理 3.4 包括了 Hong 等 (2019) 的结果及一些非递减随机过程的结果.

**注 5:** 根据定理 3.3, 任意两个部件的寿命  $T_i$  和  $T_j$  之间具有正象限相关. 当随机时间尺度  $\{Y(t), t \geq 0\}$  退化为确定性函数  $\Lambda(t; \alpha)$  (即  $\lambda \rightarrow \infty$ ) 时, 联合生存函数退化为

$$S(t_1, \dots, t_K) = \prod_{i=1}^K \exp \{-\eta_i \Lambda(t_i; \alpha)\},$$

这表明部件寿命  $T_1, \dots, T_K$  之间相互独立.

## 结论 4: 串联系统可靠度

1 根据定理 3.4,  $K$  部件**串联系统**的寿命  $T = \min\{T_1, \dots, T_K\}$  的可靠度函数为

$$R_S(t) = P(T_1 > t, \dots, T_K > t) = \exp \left\{ -\lambda \Lambda(t; \alpha) \left[ \kappa(\theta) - \kappa \left( \theta - \sum_{i=1}^K \eta_i / \lambda \right) \right] \right\}.$$

2 若  $T_1, \dots, T_K$  之间相互**独立**, 则系统可靠度函数为

$$R_{IS}(t) = \exp \left\{ -\lambda \Lambda(t) \sum_{i=1}^K [\kappa(\theta) - \kappa(\theta - \eta_i / \lambda)] \right\}.$$

3 当  $Y(t)$  退化为确定性函数  $\Lambda(t; \alpha)$  (即  $\lambda \rightarrow \infty$ ) 时, 系统可靠度可以简化为

$$R_{DS}(t) = \exp \left\{ -\Lambda(t; \alpha) \sum_{i=1}^K \eta_i \right\}.$$

## 结论 4: 串联系统可靠度 (续)

定理 3.5 给出了  $R_S(t)$ ,  $R_{IS}(t)$  与  $R_{DS}(t)$  之间的关系.

### 定理 3.5

$$R_{DS}(t) < R_{IS}(t) < R_S(t).$$

定理 3.5 揭示了两个重要结论:

- ❶ 如果未考虑动态环境的影响, 则会低估系统可靠性 ( $R_{DS}(t) < R_{IS}(t)$ ).
- ❷ 忽略部件寿命之间的正相关性, 也会导致系统可靠性的低估 ( $R_{IS}(t) < R_S(t)$ ).

**注 6:** 对于串并联系统, 可类似写出系统的可靠度.

- 1 引言
- 2 基本退化模型
- 3 高级退化模型
- 4 总结**



## 退化过程模型

- 👉 四类基础退化模型
- 👉 五类高级退化模型
- 👉 主要推断方法 (根据异质性参数的分布)
  - 🔺 似然方法: 基于 EM
  - 🔺 贝叶斯方法; 基于 MCMC

## 更多退化过程及高效算法的研究

- 👉 多状态的退化过程 (已有很多结果)
- 👉 ADT 的最优设计 (已有很多结果)
- 👉 复杂环境变量引入退化过程
- 👉 深度学习或 AI 的使用

# 谢谢

*THANKS*

[yctang@stat.ecnu.edu.cn](mailto:yctang@stat.ecnu.edu.cn)

<https://tangyc8866.github.io>